

# Chapitre II

## Lois de la magnétostatique

September 16, 2014

### Contents

<b>1</b>	<b>Flux du champ magnétique</b>	<b>2</b>
1.1	Divergence du champ $\vec{B}$ . . . . .	2
1.2	Propriétés . . . . .	3
<b>2</b>	<b>Circulation de <math>\vec{B}</math></b>	<b>5</b>
2.1	Circulation du champ autour d'un fil infini . . . . .	6
2.2	Le théorème d'Ampère . . . . .	6
2.3	Exemple: le solénoïde infini . . . . .	7
<b>3</b>	<b>Relations de passage de <math>\vec{B}</math> d'un milieu à un autre</b>	<b>9</b>
<b>4</b>	<b>Actions et travail des forces magnétiques</b>	<b>12</b>
4.1	Forces magnétiques . . . . .	12
4.2	Travail des forces magnétiques . . . . .	14
<b>5</b>	<b>Travaux dirigés: série II</b>	<b>18</b>
<b>6</b>	<b>Solution de la série II</b>	<b>20</b>

Dans ce chapitre, nous montrons à travers des calculs explicites que l'induction magnétique  $\vec{B}$  satisfait les 2 equations fondamentales suivantes:

$$\begin{aligned} i) \operatorname{div} \vec{B} = 0 & \Rightarrow \iint \vec{B} \cdot d\vec{S} = 0 & : \text{conservevation du flux magnétique} \\ ii) \operatorname{rot} \vec{B} = \mu_0 \vec{j} & \Rightarrow \int \vec{B} \cdot d\vec{l} = \mu_0 I & : \text{forme locale du théorème d'Ampère} \end{aligned}$$

Nous étudions aussi les forces magnétiques et leurs actions.

## 1 Flux du champ magnétique

### 1.1 Divergence du champ $\vec{B}$

La divergence du champ d'induction magnétique  $\vec{B}$  est nulle

$$\operatorname{div} \vec{B} = 0$$

Preuve:

On part de la relation explicite (??) de l'induction magnétique

$$\vec{B}(M) = \frac{\mu_0}{4\pi} \iiint_P d\tau \left( \vec{j}(P) \wedge \frac{\overrightarrow{PM}}{|PM|^3} \right)$$

et on agit scalairement par  $\vec{\nabla}_M$  :

$$\begin{aligned} \operatorname{div}_M \vec{B}(M) &= \frac{\mu_0}{4\pi} \operatorname{div}_M \left[ \iiint_P d\tau \left( \vec{j}(P) \wedge \frac{\overrightarrow{PM}}{|PM|^3} \right) \right] \\ &= \frac{\mu_0}{4\pi} \iiint_P d\tau \left[ \operatorname{div}_M \left( \vec{j}(P) \wedge \frac{\overrightarrow{PM}}{|PM|^3} \right) \right] \end{aligned}$$

De cette relation, on voit que pour avoir  $\operatorname{div}_M \vec{B} = 0$ , on doit avoir la propriété:

$$\operatorname{div}_M \left( \vec{j}(P) \wedge \frac{\overrightarrow{PM}}{|PM|^3} \right) = 0 \quad (1.1)$$

Pour verifier cette propriété, on utilise la relation de dérivation suivante

$$\begin{aligned} \operatorname{div} (\vec{u} \wedge \vec{w}) &= \vec{\nabla} \cdot (\vec{u} \wedge \vec{w}) \\ &= \vec{w} \cdot (\vec{\nabla} \wedge \vec{u}) - \vec{u} \cdot (\vec{\nabla} \wedge \vec{w}) \\ &= \vec{w} \cdot \operatorname{rot} \vec{u} - \vec{u} \cdot \operatorname{rot} \vec{w} \end{aligned}$$

an posant

$$\vec{u} = \vec{j}(P), \quad \vec{w} = \frac{\overrightarrow{PM}}{|PM|^3}$$

on déduit

$$\begin{aligned} \operatorname{div}_M \left( \vec{j}(P) \wedge \frac{\overrightarrow{PM}}{|PM|^3} \right) &= \underbrace{\frac{\overrightarrow{PM}}{|PM|^3} \cdot \operatorname{rot}_M \vec{j}(P) - \vec{j}(P) \cdot \operatorname{rot}_M \frac{\overrightarrow{PM}}{|PM|^3}}_{=\vec{0}} \\ &= -\vec{j}(P) \cdot \operatorname{rot}_M \frac{\overrightarrow{PM}}{|PM|^3} \end{aligned}$$

car  $\operatorname{rot}_M \vec{j}(P) = \vec{0}$ ; la densité de courant *ne dépend pas* de M. Le terme qui reste est aussi nul à cause de la propriété  $\vec{\nabla} \wedge \vec{\nabla} f = 0$ , càd:

$$\operatorname{rot}_M \left( \frac{\overrightarrow{PM}}{|PM|^3} \right) = -\operatorname{rot}_M \left[ \overrightarrow{\operatorname{grad}}_M \left( \frac{1}{|PM|} \right) \right] = \vec{0}$$

## 1.2 Propriétés

La relation  $\operatorname{div} \vec{B} = 0$  conduit à 2 *conséquences* remarquables:

### a) conservation du flux

$$\operatorname{div} \vec{B} = 0 \quad \Rightarrow \quad \iiint_V \operatorname{div} \vec{B} \, d^3\tau = \int_{S=\partial V} \vec{B} \cdot d\vec{S} = \Phi_B = 0$$

Le flux totale  $\Phi_B$  du champ  $\vec{B}$  à travers  $\mathcal{S}$  soit nulle.

#### Remarques

- i) Cette loi est aussi valable même en *régime variable*, voir chapitre 4.
- ii) le flux  $\Phi_B = 0$  montre une différence fondamentale entre  $\vec{B}$  et le champ électrostatique  $\vec{E}$  dont le flux  $\Phi_E$  est donnée par

$$\Phi_E = \int_S \vec{E} \cdot d\vec{S} = \frac{Q_{int}}{\varepsilon_0}$$

Il n y a pas de charge magnétique analogue à la charge électrique.

La source la plus élémentaire de champ magnétique est un dipôle comme pour l'aimant dont on ne peut dissocier le pôle nord du pôle sud.

### b) le potentiel vecteur

$$\operatorname{div} \vec{B} = 0 \quad \Rightarrow \quad \vec{B} = \operatorname{rot} \vec{A} = \vec{\nabla} \wedge \vec{A}$$

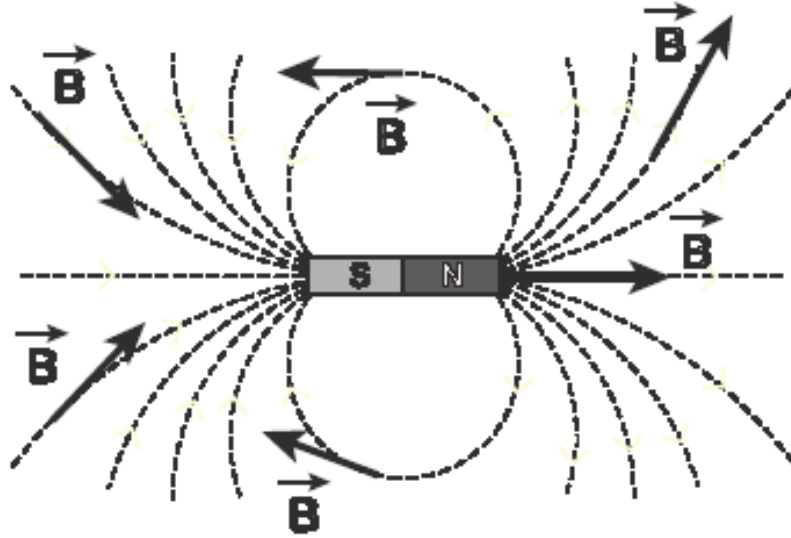


Figure 1: *champ d'induction magnétique créé par un aimant ayant 2 pôles: nord N et sud S avec des lignes de champs orientées de N vers S.*

$\vec{A}$  est appelé le *potentiel vecteur*. On dit que  $\vec{B}$  dérive de  $\vec{A}$ .

Notons aussi:

- i) *Le potentiel vecteur  $\vec{A}$  n'est pas unique et ne peut être physique; on peut aussi prendre comme potentiel vecteur de  $\vec{B}$ :*

$$\vec{A}' = \vec{A} + \overrightarrow{\text{grad}} f \quad , \quad \forall f$$

avec  $f$  une fonction arbitraire. Ceci car

$$\text{rot}(\overrightarrow{\text{grad}} f) = \vec{0}$$

- ii) *Potentiel vecteur d'une distribution de courants*

<i>courant volumique</i> $\vec{A} = \frac{\mu_0}{4\pi} \iiint d\tau \frac{\vec{j}(P)}{ PM }$	<i>circuit filiforme</i> $\vec{A} = \frac{\mu_0}{4\pi} \oint \frac{I d\vec{l}}{ PM }$
---	--

Preuve

De l'expression du champ magnétique

$$\vec{B}(M) = \frac{\mu_0}{4\pi} \iiint_P d\tau \left[ \vec{j}(P) \wedge \frac{\overrightarrow{PM}}{|PM|^3} \right]$$

et vue que

$$\frac{\overrightarrow{PM}}{|PM|^3} = -\vec{\nabla}_M \left( \frac{1}{|PM|} \right)$$

on a:

$$\vec{B}(M) = \frac{\mu_0}{4\pi} \iiint_P d\tau \left[ \vec{\nabla}_M \left( \frac{1}{|PM|} \right) \wedge \vec{j}(P) \right] \quad (1.2)$$

Après, on utilise l'identité

$$\vec{\nabla}_M \wedge \left( \frac{\vec{j}(P)}{|PM|} \right) = \vec{\nabla}_M \left( \frac{1}{|PM|} \right) \wedge \vec{j}(P) + \frac{1}{|PM|} \underbrace{\vec{\nabla}_M \wedge \vec{j}(P)}_{\vec{0}}$$

Remplaçant dans (??), on a:

$$\begin{aligned} \vec{B}(M) &= \frac{\mu_0}{4\pi} \iiint_P d\tau \left[ \text{rot}_M \frac{\vec{j}(P)}{|PM|} \right] \\ &= \text{rot}_M \underbrace{\left[ \frac{\mu_0}{4\pi} \iiint_P d\tau \frac{\vec{j}(P)}{|PM|} \right]}_{\vec{A}(M)} \\ &= \text{rot}_M \vec{A}(M) \end{aligned}$$

## 2 Circulation de $\vec{B}$

Outre  $\text{div } \vec{B} = 0$ , le champ  $\vec{B}$  satisfait

$$\text{rot } \vec{B} = \mu_0 \vec{j}$$

La version intégrale de cette equation est donnée par le théorème suivant:

Théorème d'Ampère

$$\oint_{\Gamma} \vec{B} \cdot d\vec{l} = \mu_0 \sum_{\text{algebrique}} I_{int} \quad (2.1)$$

La circulation du champ  $\vec{B}$  sur une courbe fermée  $\Gamma$  délimitant une surface ouverte  $\Sigma$  est proportionnelle à la somme algebrique des courants  $I_i$  qui traversent  $\Sigma$ .

On fera le calcul pour le cas d'un fil infini ( $OZ$ ) parcouru par un courant permanent  $I$ . Comme nous l'avons vu auparavant, ce fil admet la symétrie cylindrique et crée le champ d'induction

$$\vec{B} = \frac{\mu_0 I}{2\pi\rho} \vec{e}_{\varphi}$$

## 2.1 Circulation du champ autour d'un fil infini

En remplaçant  $\vec{B}$  et  $\vec{dl} = d\rho\vec{e}_\rho + \rho d\varphi\vec{e}_\varphi + dz\vec{e}_z$ , le terme de gauche de l'éq(2.1) s'écrit comme

$$\oint_{\Gamma=\partial\Sigma} \vec{B} \cdot \vec{dl} = \oint_{\Gamma} \frac{\mu_0 I}{2\pi\rho} \vec{e}_\varphi \cdot \vec{dl} = \oint_{\Gamma} \frac{\mu_0 I}{2\pi} d\varphi$$

son expression dépend de la courbe  $\Gamma$ . On distingue 3 cas possibles:

(a) cas  $0 \leq \varphi \leq 2\pi$

$\Gamma$  est un cercle d'axe  $\vec{OZ}$  entrelaçant le fil une seule fois ( $0 \leq \varphi \leq 2\pi$ )

$$\boxed{\oint_{\Gamma} \vec{B} \cdot \vec{dl} = \int_0^{2\pi} \frac{\mu_0 I}{2\pi} d\varphi = \mu_0 I}$$

(b) cas  $0 \leq \varphi \leq 2N\pi$

$\Gamma$  est un contour circulaire d'axe  $\vec{OZ}$  mais entrelaçant le fil  $N$  fois

$$\boxed{\begin{aligned} \oint_{\Gamma} \vec{B} \cdot \vec{dl} &= \frac{\mu_0 I}{2\pi} \int_0^{2N\pi} d\varphi \\ &= \mu_0 N I \end{aligned}}$$

(c) cas où  $\Gamma$  est un contour qui *n'entrelace pas* fil  $\vec{OZ}$

$$\boxed{\oint_{\Gamma} \vec{B} \cdot \vec{dl} = 0}$$

### Remarque

Ce résultat, établi ici pour le cas du fil infini, est valable *pour tout conducteur*.

## 2.2 Le théorème d'Ampère

### Enoncé du théorème:

La circulation de  $\vec{B}$  le long d'une courbe  $\Gamma = \partial\mathcal{S}$ , *orientée et fermée*, appelée *contour d'Ampère*, est égale à  $\mu_0 \times$  la somme algébrique des courants  $I_{int}$  qui traversent la surface  $\mathcal{S}$  délimitée par  $\Gamma$ .

$$\oint_{\Gamma} \vec{B} \cdot \vec{dl} = \mu_0 \sum_{\text{algébrique}} I_{int} \quad \text{théorème d'Ampère}$$

### Exemple

Le sens positif de  $I$  est déterminé à partir du sens positif de la circulation sur le circuit en appliquant la règle de la main droite.

### Propriétés

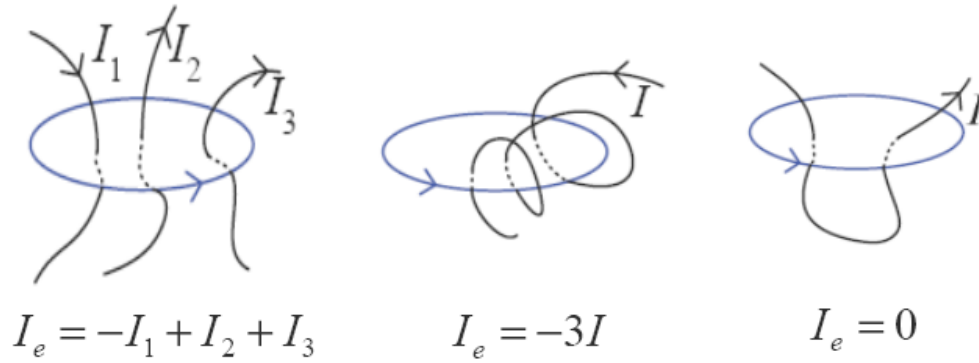


Figure 2: *somme algébrique des  $I_i$  traversant la surface  $S$  délimitée par la courbe  $\Gamma$ .*

i) Le théorème d'Ampère est fondamental;

il relie le champ  $\vec{B}$  dans le vide aux courants permanents  $I_i$ .

Ce théorème n'est pas valable en régime variable.

ii) Relation  $\vec{\nabla} \wedge \vec{B} = \mu_0 \vec{j}$

Le théorème d'Ampère est donné par une intégrale;

pour obtenir la relation locale que vérifie  $\vec{B}$ ; il suffit de procéder comme suit

$$\oint_{\Gamma=\partial S} \vec{B} \cdot d\vec{l} = \iint_S \text{rot} \vec{B} \cdot d\vec{S}$$

$$\mu_0 I = \mu_0 \iint_S \vec{j} \cdot d\vec{S}$$

et par suite

$$\iint_S \text{rot} \vec{B} \cdot d\vec{S} = \mu_0 \iint_S \vec{j} \cdot d\vec{S}$$

ou encore, vu que la surface  $S$  est *quelconque*

$$\vec{\nabla} \wedge \vec{B} = \mu_0 \vec{j}$$

## 2.3 Exemple: le solénoïde infini

Soit un solénoïde  $\mathbb{S}$  infini d'axe  $\overrightarrow{OZ}$  parcouru par un courant permanent  $I$  et ayant  $N$  spires par unité de longueur, voir fig 9

La symétrie cylindrique de  $\mathbb{S}$  implique:

$$\vec{B}(M) = \vec{B}(\rho).$$

$\Pi_s = (\vec{e}_\rho, \vec{e}_\varphi)$  est un plan de symétrie du solénoïde:

$$\vec{B}(\rho) = B(\rho) \vec{e}_z$$

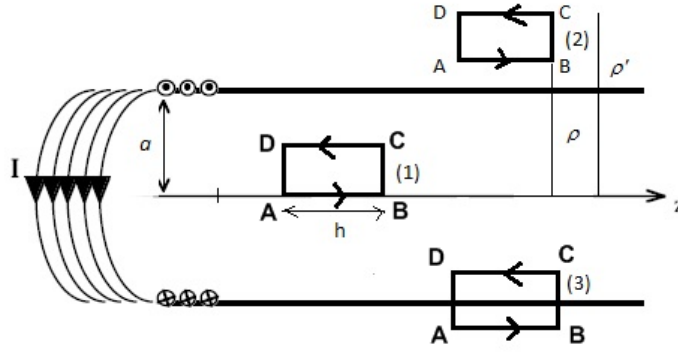


Figure 3: *théorème d'Ampère appliqué au solénoïde infini d'axe  $\vec{OZ}$*

*Remarque:*

Pour le cas particulier  $\rho = 0$ , c'ad sur l'axe  $\vec{Oz}$ , on a:

$$\vec{B} = \mu_0 N I \vec{e}_z = \overrightarrow{\text{constante}}$$

Dans le cas général, on utilise le théorème d'Ampère pour calculer  $B(\rho)$ :

$$\oint_{\Gamma} \vec{B} \cdot d\vec{l} = \mu_0 \sum_{\text{algebrique}} I_{\text{int}}$$

La courbe d'Ampère  $\Gamma$  est un rectangle  $ABCD$

Selon le choix de  $\Gamma$ , on distingue *trois cas*:

- cas du contour (1)

Pas de courant qui traverse la surface délimitée par le contour,

$$\int \vec{B} \cdot d\vec{l} = 0$$

D'autre part, on a:

$$\begin{aligned} \oint_{\Gamma} \vec{B} \cdot d\vec{l} &= \int_{AB} B \vec{e}_z \cdot d\vec{l} + \underbrace{\int_{BC} B \vec{e}_z \cdot d\vec{l}}_{=0 \text{ car } d\vec{l} = d\rho \vec{e}_\rho} + \int_{CD} B \vec{e}_z \cdot d\vec{l} + \underbrace{\int_{DA} B \vec{e}_z \cdot d\vec{l}}_{=0} \\ &= \int_{AB} B dz - \int_{CD} B dz \\ &= (B_{AB} - B_{CD}) \times h \end{aligned}$$



Donc le champ  $\vec{B}$  à l'intérieur du solénoïde infini est uniforme

$$B_{AB} = B_{CD} = \mu_0 NI$$

- cas du contour (2)

On obtient le même résultat  $(B_{AB} - B_{CD}) \times h = 0$  que pour le cas précédent, c'est à dire un champ uniforme à l'extérieur. Mais comme ce champ doit être nul à l'infini, on en déduit qu'il est nul partout.

$$B_{AB} = B_{CD} = 0$$

on redécouvrera ce résultat dans le cas suivant.

- cas du contour (3)

Dans ce cas, la surface délimitée par le contour est traversée par  $N \times h$  courants entrants; par suite nous avons par un calcul similaire auparavant:

$$(B_{AB} - B_{CD}) \times h = -\mu_0 NI \times h \Rightarrow B_{AB} - B_{CD} = -\mu_0 NI$$

Comme on sait que le terme  $B_{CD} = \mu_0 NI$ , il en découle que le champ d'induction  $B_{AB}$  à l'extérieur du solénoïde est nul.

$$B_{AB} = 0$$

### 3 Relations de passage de $\vec{B}$ d'un milieu à un autre

Soit  $(\mathcal{S})$  une distribution surfacique (nappe  $\mathbb{R}^2$ ) de courant  $\vec{j}_s$  qui sépare l'espace  $\mathbb{R}^3$  en 2 régions: (R1) et (R2).

$\vec{n}_{12}$  le vecteur normal à  $(\mathcal{S})$  orienté de (1) vers (2) comme dans la fig 4.

*Question:*

comment se comporte  $\vec{B}$  à la traversée de cette nappe de courant?

**a) Relations de passage**

A la traversée d'une nappe de courant, la *composante normale*  $\vec{B}_\perp$  du champ magnétique reste continue et la *composante tangentielle*  $\vec{B}_\parallel$  du champ magnétique est discontinue.

$\begin{aligned} \left( \vec{B}_2 - \vec{B}_1 \right) \cdot \vec{n}_{12} &= 0 \\ \left( \vec{B}_2 - \vec{B}_1 \right) \wedge \vec{n}_{12} &= \mu_0 \vec{j}_s \end{aligned}$
---

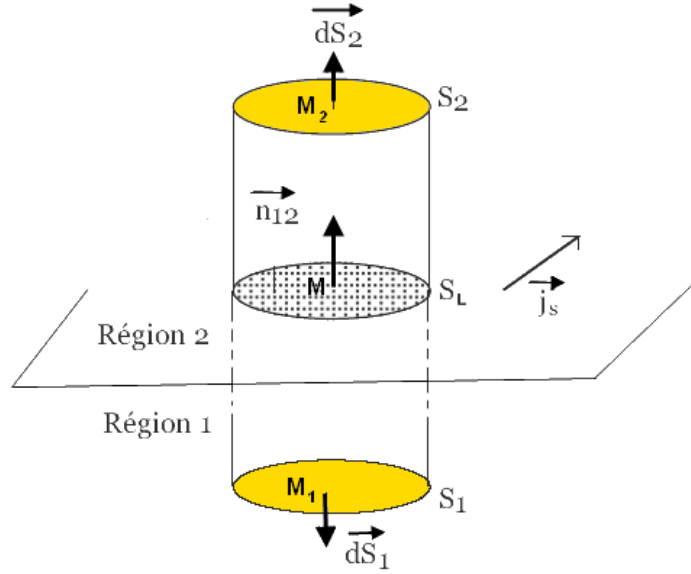


Figure 4: *nappe de courant séparant l'espace en 2 régions. Continueté de la composante normale  $\vec{B}_\perp$  à la traversée de la nappe*

Par contre, le potentiel vecteur  $\vec{A}$  est toujours continu.

**b) Preuve**

i) continuité de  $\vec{B}_\perp$

Soit  $M$  un point appartenant à la nappe de courant

$M_1$  et  $M_2$  : 2 points voisins de  $M$  sur la normale à  $(\mathcal{S})$

► Le flux de  $\vec{B}$  étant *conservatif*

$$\Phi_B = \iiint_{\text{cylindre}} \vec{B} \cdot d\vec{S} = 0$$

Par conséquent le flux sortant du cylindre de generatrices parallèles à  $\vec{n}_{12}$  est

$$\iint_{S_1} \vec{B} \cdot d\vec{S} + \iint_{S_L} \vec{B} \cdot d\vec{S} + \iint_{S_2} \vec{B} \cdot d\vec{S} = 0$$

où  $S_L$  est la *surface latérale* de hauteur

$$h = M_1 M_2$$

► Lorsqu'on fait tendre cette surface vers zéro ( $\mathcal{S}_1$  tend vers  $\mathcal{S}_2$ ), càd

$$M_1 \rightarrow M_2, \quad \mathcal{S}_L \rightarrow 0$$

on obtient

$$\begin{aligned} \iint_{S_1} \vec{B} \cdot d\vec{S} + \iint_{S_2} \vec{B} \cdot d\vec{S} &= \iint_{S_1} (\vec{B}_2 - \vec{B}_1) \cdot \vec{n}_{12} dS \\ &= 0 \end{aligned}$$

ou on a utilisé

$$d\vec{S}_2 = -d\vec{S}_1 = \vec{n}_{12}dS$$

Ce résultat étant valable quelque soit la surface  $\mathcal{S}$  choisie:

$$(\vec{B}_2 - \vec{B}_1) \cdot \vec{n}_{12} = B_{2n} - B_{1n} = 0$$

ii) discontinuité  $\vec{B}_{//}$

Pour établir la discontinuité de  $\vec{B}_{//}$ , nous utilisons le th d'Ampère.

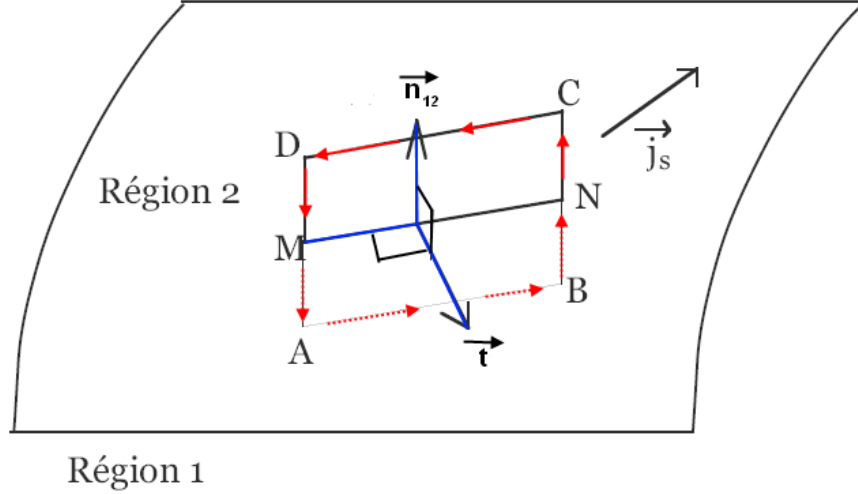


Figure 5: *discontinuité de la composante tangentielle  $\vec{B}_{//}$  à la traversée de la nappe.*

Considérons le *contour d'Ampère* donné par le rectangle ABCD de la fig

$$\int_{AB} \vec{B} \cdot d\vec{l} + \int_{BC} \vec{B} \cdot d\vec{l} + \int_{CD} \vec{B} \cdot d\vec{l} + \int_{DA} \vec{B} \cdot d\vec{l} = \mu_0 I$$

Le courant  $I$  est celui qui circule sur la nappe, autrement dit, il est défini par la densité de courant surfacique

$$I = \iint_{\text{surface ABCD}} \vec{j} \cdot d\vec{S} = \int_{MN} (\vec{j}_s \cdot \vec{t}) dl$$

où  $(\frac{\overrightarrow{MN}}{MN}, \vec{n}_{12}, \vec{t})$  est un trièdre directe

$$\begin{aligned} \vec{n}_{12} \wedge \vec{t} &= \frac{\overrightarrow{MN}}{MN} \\ \vec{dl} &= dl \times \frac{\overrightarrow{MN}}{MN} \\ &= dl \times (\vec{n}_{12} \wedge \vec{t}) \end{aligned}$$

Dans la limite

$$\begin{aligned} (A, B) &\rightarrow (M, N) \\ (C, D) &\rightarrow (M, N) \end{aligned}$$

soit

$$\begin{aligned} DA &\rightarrow 0, & \int_{DA} \dots &\rightarrow 0 \\ BC &\rightarrow 0, & \int_{BC} \dots &\rightarrow 0 \end{aligned}$$

on a:

$$\int_{AB} \vec{B} \cdot d\vec{l} + \underbrace{\int_{BC} \vec{B} \cdot d\vec{l}}_{=0} + \int_{CD} \vec{B} \cdot d\vec{l} + \underbrace{\int_{DA} \vec{B} \cdot d\vec{l}}_{=0} = \mu_0 I$$

d'où le théorème d'Ampère fournit

$$\int_{MN} (\vec{B}_1 - \vec{B}_2) \cdot d\vec{l} = \int_{MN} \mu_0 (\vec{j}_s \cdot \vec{t}) dl$$

Puisque

$$d\vec{l} = (\vec{n}_{12} \wedge \vec{t}) dl$$

et  $MN$  est quelconque, on doit avoir:

$$\begin{aligned} (\vec{B}_1 - \vec{B}_2) \cdot d\vec{l} &= (\vec{B}_1 - \vec{B}_2) \cdot (\vec{n}_{12} \wedge \vec{t}) dl \\ &= [(\vec{B}_1 - \vec{B}_2) \wedge \vec{n}_{12}] \cdot \vec{t} dl \\ &= \mu_0 \vec{j}_s \cdot \vec{t} dl \end{aligned}$$

ou on a utilisé la propriété du produit mixte

$$\vec{u} \cdot (\vec{v} \wedge \vec{w}) = \vec{w} \cdot (\vec{u} \wedge \vec{v}) = \vec{v} \cdot (\vec{w} \wedge \vec{u})$$

Puisque la direction de  $\vec{t}$  est arbitraire, on a:

$$(\vec{B}_2 - \vec{B}_1) \wedge \vec{n}_{12} = \mu_0 \vec{j}_s$$

## 4 Actions et travail des forces magnétiques

### 4.1 Forces magnétiques

On distingue 2 forces

- Force de Lorentz: elle concerne particules chargées
- force de laplace: elle concerne les conducteurs neutres

**a) Force de Lorentz**

**(i) cas d'une particule**

Une particule de charge  $q$  et de vitesse  $\vec{v}$  dans  $\vec{E}$ ,  $\vec{B}$  subit la force

$$\begin{aligned}\vec{F} &= q\vec{E} + q\vec{v} \wedge \vec{B} = q\vec{E} + \vec{J} \wedge \vec{B} \\ &= \vec{F}_{elec} + \vec{F}_{mag}, \quad \text{force de Lorentz}\end{aligned}$$

avec

$$\begin{aligned}\vec{F}_{elec} &= q\vec{E} & : \text{force électrique} \\ \vec{F}_{mag} &= q\vec{v} \wedge \vec{B} & : \text{force magnétique}\end{aligned}$$

**(ii) cas de plusieurs particules**

On distingue:  $\alpha$ ) système discret et  $\beta$ ) système continue

Dans un milieu continue ou chaque élément de volume  $d\tau$  contient une densité de charges  $\varrho$ , l'élément de charge  $dq$  et de courant  $d\vec{J}$  sont donnés par

$$dq = \varrho d\tau, \quad d\vec{J} = \vec{j} d\tau$$

et sont sujets à l'élément de forces

$$\begin{aligned}d\vec{F} &= dq\vec{E} + d\vec{J} \wedge \vec{B} \\ &= \varrho d\tau \vec{E} + \vec{j} d\tau \wedge \vec{B}\end{aligned}$$

ou encore

$$d\vec{F} = \underbrace{\left( \sum_{\alpha=1}^k n_{\alpha} q_{\alpha} \right) d\tau \vec{E}}_{d\vec{F}_{elec}} + \underbrace{\left( \sum_{\alpha=1}^k n_{\alpha} q_{\alpha} \vec{v}_{\alpha} \right) d\tau \wedge \vec{B}}_{d\vec{F}_{mag}} \quad (4.1)$$

**c) Force de Laplace**

• *si le conducteur neutre*

Pour un conducteur est *électriquement neutre*; càd de charge totale nulle,

$$\sum_{\alpha=1}^k n_{\alpha} q_{\alpha} = 0$$

parcouru par une densité de courant  $\vec{j}$  non nulle, on a:

$$d\vec{F}_{ele} = \vec{0} \quad , \quad \text{pas d'effet de } \vec{E}$$

d'où

$$d\vec{F} = d\vec{F}_{mag} = \vec{j}d\tau \wedge \vec{B}$$

c'est la force qu'exerce un  $\vec{B}$  externe sur une densité de courant  $\vec{j}$  circulant dans un *conducteur neutre*.

- si le conducteur est un circuit filiforme fermé

$$\vec{j}d\tau \rightarrow I\vec{dl}$$

la force magnétique  $d\vec{F}$  qui s'exerce sur un élément  $\vec{dl}$  du fil est:

$$d\vec{F} = I\vec{dl} \wedge \vec{B}$$

La force magnétique totale  $\vec{F}$  qui s'exerce sur le circuit est alors:

$$\vec{F} = \oint_{\text{circuit}} I\vec{dl} \wedge \vec{B}$$

*force de Laplace*

Cette force est utilisée pour étudier les interactions magnétiques entre de circuits filiformes.

## 4.2 Travail des forces magnétiques

Un circuit électrique *filiforme* ( $C$ ) parcouru par un courant permanent  $I$  placé dans un champ d'induction magnétique  $\vec{B}$  possède une énergie potentielle d'interaction magnétique.

$$E_p^{mag}$$

Pour calculer cette énergie, on utilise la relation

$$dE_p^{mag} = -dW_{mag}$$

avec  $W_{mag}$  le travail des forces magnétiques.

- a) calcul de  $W_{mag}$

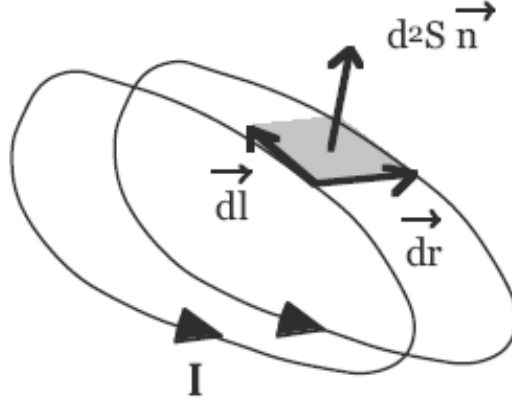


Figure 6: *Travail de la force de Laplace*

- *travail élémentaire:*  $(d^2W)_{\text{elt de } C}$

Considérons un élément  $\vec{dl}$  d'un circuit filiforme ( $C$ ) comme dans la figure.

Cet élément subit une force de Laplace

$$\vec{dF} = I \vec{dl} \wedge \vec{B}$$

Pour déplacer le circuit d'une quantité  $\vec{dr}$ , cette force doit fournir le travail

$$(d^2W)_{\text{elt de } C} = \vec{dF} \cdot \vec{dr}$$

en remplaçant  $\vec{dF}$ , on a:

$$(d^2W)_{\text{elt de } C} = I (\vec{dl} \wedge \vec{B}) \cdot \vec{dr} = I (\vec{dr} \wedge \vec{dl}) \cdot \vec{B}$$

soit

$$(d^2W)_{\text{elt de } C} = I d^2\vec{S} \cdot \vec{B} \quad (4.2)$$

où

$$\vec{dr} \wedge \vec{dl} = d^2\vec{S} = d^2S \vec{n}$$

surface élémentaire décrite lors du déplacement élémentaire

Les trois vecteurs  $(\vec{dr}, \vec{dl}, \vec{n})$  forment un trièdre direct.

Dans l'expression (4.2), on reconnaît la quantité

$$d^2\Phi = \vec{B} \cdot d^2\vec{S} : \quad \begin{array}{l} \text{flux coupé} \\ \text{flux magnétique élémentaire lors du déplacement} \end{array}$$

d'où

$$(d^2W)_{\text{elt de C}} = I \times d^2\Phi$$

- *travail de l'ensemble du circuit pour un déplacement  $\vec{dr}$*

$$\begin{aligned} (dW)_{\text{circuit}} &= \oint_{\text{circuit}} I (d^2W)_{\text{elt de C}} \\ &= \oint_{\text{circuit}} I d^2\Phi \\ &= I d\Phi \end{aligned} \quad (4.3)$$

### b) Théoreme de Maxwell

*Le déplacement d'un circuit électrique fermé dans un champ d'induction magnétique extérieur  $\vec{B}$  engendre un travail  $W_{\text{mag}}$  des forces magnétiques égal au produit du courant  $I$ , traversant le circuit, par le flux coupé  $\Phi_c$  par celui-ci lors de son déplacement.*

$$W_{\text{mag}} = I \times \Phi_c \quad (4.4)$$

### c) Propriétés

i) de la relation (4.3), on tire

$$\begin{aligned} W_{\text{mag}} &= \int_1^2 I d\Phi \\ &= I (\Phi_2 - \Phi_1) \end{aligned}$$

ii) Comme le flux totale sortant de la surface (cylindrique) fermée est

$$\Phi_1 + \Phi_c - \Phi_2 = 0$$

- $\Phi_1$  et  $\Phi_2$  sont les *flux à travers les surfaces  $\vec{S}_1$  et  $\vec{S}_2$*  et;
- $\Phi_c$  le *flux à travers la surface latérale  $\vec{S}_L$* .

Rappelons que lors de son déplacement, le circuit balaye une surface  $\vec{S}$  (cylindrique) fermée

$$\vec{S} = \vec{S}_1 + \vec{S}_L + \vec{S}_2$$

constituée par:

- une base  $\vec{S}_1 = +S_1\vec{n}$  donnée par la surface du circuit en position (1)
- une base  $\vec{S}_2 = -S_2\vec{n}$  donnée par la surface du circuit en position (2)
- la surface balayée  $S_L$  donnée par la surface latérale du cylindre



Par conséquent le flux coupé  $\Phi_c$  n'est autre que

$$\Phi_c = \Phi_2 - \Phi_1 \quad , \quad \text{flux coupé}$$

en accord avec (4.4).

iii) *règle du flux maximum*: de la relation

$$dE_{pot}^{mag} = -dW_{mag}$$

et que l'évolution vers la situation d'équilibre correspondant à

$$\delta E_{pot}^{mag} < 0 \quad \text{minimum d'énergie}$$

il en découle que

$$\delta W_{mag} > 0 \quad \Rightarrow \quad \Phi_2 > \Phi_1$$

Sous l'action de  $\vec{B}$ , un circuit fermé ( $C$ ) a tendance à se déplacer de telle manière que

le flux de  $\vec{B}$  à travers le circuit soit *maximum*

## 5 Travaux dirigés: série II

Université Mohammed V  
Faculté des Sciences

Année Universitaire 2014-2015  
SMP: S3

### Electricité II Travaux Dirigés: Série 2

#### Exercice I: nappe de courant et discontinuité de $\vec{B}$

On considère une nappe plane conductrice de courant, d'épaisseur  $\varepsilon$  négligeable et traversée par un courant uniforme. On prend, la nappe dans le plan  $xOy$ , avec  $-\frac{\varepsilon}{2} \leq z \leq \frac{\varepsilon}{2}$ , et le vecteur densité de courant  $\vec{j} = \varepsilon \vec{j}_s$  avec courant surfacique  $\vec{j}_s = j_s \vec{e}_x$ .

- 1) Faire un schéma d'illustration,
- 2) En utilisant les règles de symétrie, déterminer:
  - a) Les variables dont dépendent le champ d'induction magnétique  $\vec{B}$ ,
  - b) Montrer que le champ  $\vec{B}$  est dirigé suivant  $\vec{e}_y$  (c'est à dire  $\vec{B} = B \vec{e}_y$ ),
- 3) Pour calculer le composante B, on utilise le théorème d'Ampère,
  - a) Donner la forme de la courbe d'Ampère  $\Gamma$ , justifier,
  - b) En déduire l'induction magnétique  $\vec{B}$  en tout point  $M(x, y, z)$ ,
- 4) Calculer la valeur de  $\vec{B}$  pour le cas  $z = 0$ ,
- 5) Montrer que  $\vec{B}$  est discontinue,
- 6) Déterminer à une constante près le potentiel vecteur  $\vec{A}$  en tout point  $M$  de l'espace,
- 7) En déduire la constante dans le cas où  $\vec{A}$  est nul à l'origine.

#### Exercice II: Solénoïde infini et calcul potentiel vecteur $\vec{A}$

On considère un solénoïde  $\mathbb{S}$  infini d'axe  $\vec{OZ}$ , de base circulaire de rayon  $R$ , parcouru par un courant permanent  $I$  et ayant  $N$  spires par unité de longueur. On se propose de déterminer le champ d'induction magnétique  $\vec{B}(M)$  et le potentiel vecteur  $\vec{A}(M)$  en tout point  $M$  de l'espace.

- 1) Faire un schéma d'illustration,
- 2) En utilisant les règles de symétrie, déterminer:
  - a) Les variables dont dépendent le champ d'induction magnétique  $\vec{B}$ ,
  - b) La direction du champ  $\vec{B}$ ,
- 3) Pour calculer l'expression explicite du champ d'induction magnétique, on utilise le théorème d'Ampère,
  - a) Donner la forme de la courbe d'Ampère  $\Gamma$ , justifier le choix,
  - b) En déduire l'induction magnétique  $\vec{B}$  en tout point  $M(x, y, z)$ ,
- 4) Montrer que  $\vec{B}$  est discontinue,

Pour déterminer le potentiel vecteur  $\vec{A}(M)$ , on utilisera une relation donnant sa circulation sur un contour fermé  $C$  que l'on déterminera.

- 5) En partant de la relation  $\text{div } \vec{B} = 0$ , montrer que  $\oint_C \vec{A} \cdot d\vec{l} = \iint_S \vec{B} \cdot d\vec{S}$ ,
- 6) En utilisant les règles de symétries de la distribution de courant, donner:
  - a) La direction du champ  $\vec{A}$  et les variables dont ils dépendent,
  - b) Le choix de la courbe  $C$  pour le calcul de la circulation de  $\vec{A}$ , justifier,
- 7) Déterminer le potentiel vecteur  $\vec{A}$  en tout point de l'espace

**Exercice III: Force magnétique et effet Hall**

On veut déterminer le nombre  $n_e$  d'électrons de conduction que possède un atome de cuivre en utilisant l'effet Hall. Pour cela, on considère une plaquette rectangulaire  $ABCD$  de cuivre dans le plan  $xOy$ , de longueur  $L$  ( $0 \leq x \leq L$ ), de largeur  $a$  ( $0 \leq y \leq a$ ), d'épaisseur  $b$  ( $-\frac{b}{2} \leq z \leq \frac{b}{2}$ ) et traversée par une densité de courant surfacique uniforme  $\vec{j} = j\vec{e}_x$ . Cette plaquette est plongée dans un champ magnétique extérieur perpendiculaire  $\vec{B} = B\vec{e}_z$ . A l'équilibre, la tension de Hall mesurée entre les 2 bords de largeur de la plaquette est  $U_H = 5.510^{-6}V$ .

- 1) Faire un schéma d'illustration,
- 2) Décrire le phénomène physique observé, commenter,
- 3) Donner l'expression de la force  $\vec{F}_m$  subit par les électrons
- 4) Sous l'effet de la force magnétique, les électrons sont déviés, donner la direction du champ électrique  $\vec{E}$  induit
- 5) En déduire l'expression de la force totale subit par les électrons
- 6) Déterminer l'expression du champ  $\vec{E}_H$  à l'équilibre en fonction de la vitesse  $v$  et  $B$
- 7) En déduire la valeur de  $v$  en fonction de  $I$ ,  $a$ ,  $b$  et la densité  $n_e$  des électrons,
- 8) Calculer le nombre  $n_e$  d'électrons en fonction de  $B$ ,  $I$ ,  $a$ ,  $b$  et  $E_H$
- 9) En déduire le nombre  $n_e$  en fonction de  $U_H$ ; on donne:

$$M_{mole}(cu) = 63g, \quad B = 1Tesla, \quad b = 10^{-4}m, \quad \rho_{vol}(cu) = 9000kg/m^3$$

$$U_H = 5.510^{-6}V, \quad e = 1.610^{-19}C, \quad I = 10A, \quad N = 6.0210^{23} \text{ atomes/mole}$$

**Exercice IV: Interaction magnétique entre fil infini et un cadre**

Un fil rectiligne  $z'z$  de longueur infinie est parcouru par un courant d'intensité  $I_1$ . Dans un plan contenant  $z'z$ , on place un cadre carré  $ABCD$  indéformable, de côté  $a$ , parcouru par un courant  $I_2$ . Les côtés  $AB$  et  $CD$  sont parallèles à  $z'z$ . Soit  $y$  la distance qui sépare  $AB$  de  $z'z$ .

- 1) Faire un schéma,
- 2) Rappeler le champ magnétique  $\vec{B}_1$  créé par le fil  $z'z$
- 3) Déterminer la résultante des forces  $\vec{F}_{12}$  exercées par le fil sur le cadre
- 4) Retrouver l'expression de  $\vec{F}_{12}$  en utilisant la relation entre le travail et le flux magnétique

## 6 Solution de la série II

### Exercice I: Nappe plane de courant

1) schema d'illustration

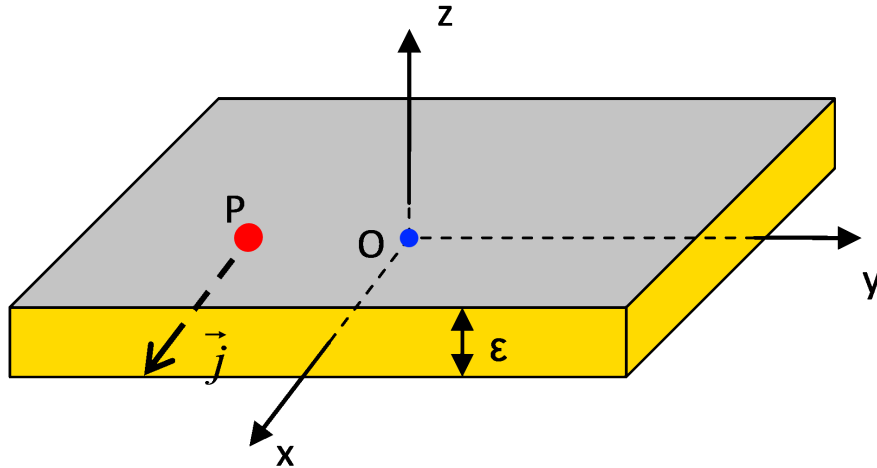


Figure 7: Nappe plane de courant  $\vec{J} = j_s \vec{e}_x$ .

2) Déterminer le champ d'induction magnétique  $\vec{B}$  en tout point  $M$  de l'espace

a) 2 symetries de translations: suivant x et y

$$\vec{B}(M) = \begin{pmatrix} B_x(z) \\ B_y(z) \\ B_z(z) \end{pmatrix}$$

b) direction de  $\vec{B}$

Le plan de la nappe (càd  $\Pi_s = xOz$ ) est un plan de symetrie, donc

$$\vec{B} \perp \Pi_s \Rightarrow \vec{B} = B(z) \vec{e}_z$$

3) Théorème d'Ampère

$$\oint_{\Gamma} \vec{B} \cdot d\vec{l} = \mu_0 I$$

a) la courbe d'Ampère  $\Gamma$  est un rectangle rectangle  $ABCD$  de surface  $S$ , dont le sens de parcours positif est comme indiqué sur la figure ??.

$$\text{surface de } ABCD = L_{AB} \times L_{BC} = \varepsilon \times L, \quad \text{coté } BC=L$$

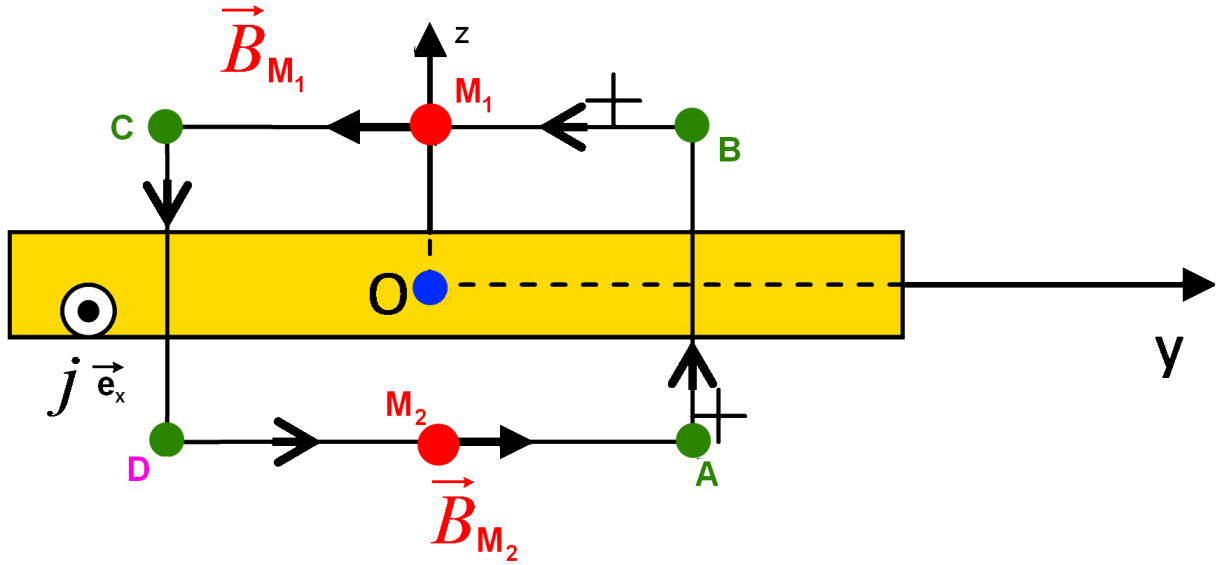


Figure 8: Contour d'Ampère.

Il passe par les points  $M_1$  et  $M_2$ , symétriques par rapport à la nappe  $b)$  *Calcul de la composante  $B$*

i) calcul de  $\oint_{\Gamma} \vec{B} \cdot d\vec{l}$

$$\begin{aligned}
 \oint_{\Gamma} \vec{B} \cdot d\vec{l} &= \oint_{\Gamma} B dy \\
 &= \left( \int_A^B + \int_B^C + \int_C^D + \int_D^A \right) B \\
 &= \int_B^C B dy + \int_C^D B dy \\
 &= - \int_B^C B dy + \int_D^A B dy \\
 &= 2BL
 \end{aligned}$$

avec

$$\int_D^A dy = - \int_B^C dy = L$$

ii) calcul de  $I$

$$\begin{aligned}
 \mu_0 I &= \mu_0 \iint_S \vec{J} \cdot d\vec{S} \\
 &= \mu_0 \vec{J} \times \vec{S} \quad , \quad \text{car } \vec{J} = J \vec{e}_x \\
 &= \mu_0 \underbrace{\vec{J} \times \vec{\varepsilon}}_{J_s} \times L = \mu_0 J_s \times L
 \end{aligned}$$

on a:

$$\begin{aligned}
 \mu_0 \iint_S \vec{J} \cdot d\vec{S} &= \mu_0 \vec{J} \times \vec{S} \\
 &= \mu_0 \vec{J} \times \vec{\varepsilon} \times L \\
 &= \mu_0 J_s \times L
 \end{aligned}$$

iii) résultat

$$\begin{aligned} 2BL = \mu_0 J_s L &\Rightarrow B = \frac{\mu_0 J_s}{2} = Cst \\ \vec{B}(M_1) &= -\frac{\mu_0 J_s}{2} \vec{e}_y \\ \vec{B}(M_2) &= \frac{\mu_0 J_s}{2} \vec{e}_y \end{aligned}$$

4)  $\vec{B}$  au point  $z = 0$

Au point O, origine de l'espace, on distingue 2 plans de symétrie de la nappe

$$xOy \quad \text{et} \quad xOz$$

donc  $\vec{B}$  doit être perpendiculaire à ces 2 plans, c'est à dire

$$\vec{B} = \begin{vmatrix} 0 \\ 0 \\ B \end{vmatrix} \quad \text{et} \quad \vec{B} = \begin{vmatrix} 0 \\ B \\ 0 \end{vmatrix}$$

par conséquent  $\vec{B}$  à l'origine O, et pour  $z = 0$  en général, ne peut être que nul

$$\vec{B}(z = 0) = \vec{0}$$

5)  $\vec{B}$  discontinue

$\vec{B}$  est tangent à la nappe de courant; il doit donc vérifier la relation de continuité

$$\vec{B}_{1T}(M) - \vec{B}_{2T}(M) = \mu_0 \vec{J}_s(M) \wedge \vec{n}_{21}$$

avec

$$\vec{n}_{21} \quad \text{la normale orienté de 2 vers 1}$$

Dans notre cas

$$\vec{J}_s(M) = J_s \vec{e}_x \quad \text{et} \quad \vec{n}_{21} = \vec{e}_z$$

$$\vec{B}_{1T}(M) - \vec{B}_{2T}(M) = \mu_0 J_s \vec{e}_x \wedge \vec{e}_z = -\mu_0 J_s \vec{e}_y$$

ce qui est en accord avec

$$\vec{B}_1(M) - \vec{B}_2(M) = -\frac{\mu_0 J_s}{2} \vec{e}_y - \frac{\mu_0 J_s}{2} \vec{e}_y = -\mu_0 J_s \vec{e}_y$$

ou on a utilisé

$$\vec{B}(M_1) = -\frac{\mu_0 J_s}{2} \vec{e}_y \quad , \quad \vec{B}(M_2) = \frac{\mu_0 J_s}{2} \vec{e}_y$$

6) le potentiel vecteur  $\vec{A}$

a) symétrie de translation suivant x et suivant y

$$\vec{A} = \begin{pmatrix} A_x(z) \\ A_y(z) \\ A_z(z) \end{pmatrix}$$

b) direction de  $\vec{A}$ :

$yOz = \Pi_a$  est un plan d'antisymétrie

$$\vec{A} \perp \Pi_a \quad \Rightarrow \quad \vec{A}(z) = \begin{pmatrix} A_x(z) \\ 0 \\ 0 \end{pmatrix}$$

c) Expression de  $\vec{A}$

De la relation  $\vec{B} = \text{rot} \vec{A}$ , on obtient

$$\begin{pmatrix} 0 \\ B(z) \\ 0 \end{pmatrix} = \begin{pmatrix} \frac{\partial}{\partial x} \\ \frac{\partial}{\partial y} \\ \frac{\partial}{\partial z} \end{pmatrix} \wedge \begin{pmatrix} A(z) \\ 0 \\ 0 \end{pmatrix} = \begin{pmatrix} 0 \\ \frac{\partial A}{\partial z} \\ 0 - 0 \end{pmatrix}$$

d'où

$$A = \int B dz$$

Trois cas à distinguer:

(i)  $z > 0$

$$B(z) = -\frac{\mu_0 J_s}{2} \quad \Rightarrow \quad A(z) = -\frac{\mu_0 J_s}{2} z + C_1$$

(ii)  $z < 0$

$$B(z) = \frac{\mu_0 J_s}{2} \quad \Rightarrow \quad A(z) = \frac{\mu_0 J_s}{2} z + C_2$$

(iii)  $z = 0$

$$B = 0 \quad \Rightarrow \quad A(0) = C_3$$

7) cas où  $\vec{A}$  est nul à l'origine.

$$A(0) = C_3 = 0$$

la continuité de A exige que les constantes soient nulles,

$$\lim_{z \rightarrow 0^\pm} A(z) = 0 \quad \Rightarrow \quad C_1 = C_2 = 0$$

## Exercice II

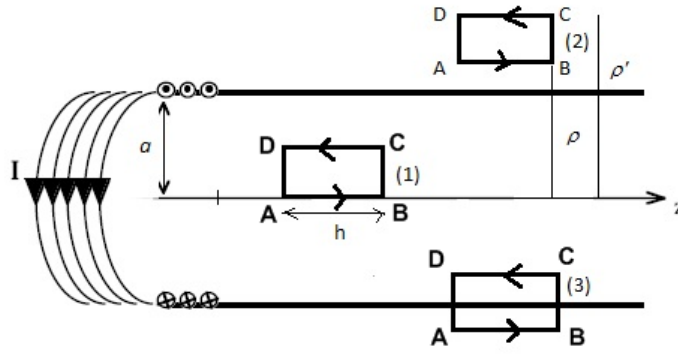


Figure 9: *théorème d'Ampère appliqué au solénoïde infini d'axe  $\overrightarrow{OZ}$*

1) schema d'illustration: voir fig 9

2) règles de symetrie:

a) La symétrie cylindrique de  $\mathbb{S}$  implique:  $\vec{B}(M) = \vec{B}(\rho)$

b) La direction du champ  $\vec{B}$

$\Pi_s = (\vec{e}_\rho, \vec{e}_\varphi)$  est un plan de symétrie du solénoïde:

$$\vec{B} \perp \vec{e}_z \Rightarrow \vec{B}(\rho) = B(\rho) \vec{e}_z$$

3) expression explicite de  $\vec{B}$

a) courbe d'Ampère  $\Gamma$ :

rectangles ABCD comme dans la figure

Selon le choix de  $\Gamma$ , on distingue trois cas:

i) cas du contour (1)

Pas de courant qui traverse la surface délimitée par le contour,

$$\int \vec{B} \cdot \vec{dl} = 0$$

D'autre part, on a:

$$\begin{aligned} \int \vec{B} \cdot \vec{dl} &= \int_{AB} B \vec{e}_z \cdot \vec{dl} + \underbrace{\int_{BC} B \vec{e}_z \cdot \vec{dl}}_{=0} + \int_{CD} B \vec{e}_z \cdot \vec{dl} + \underbrace{\int_{DA} B \vec{e}_z \cdot \vec{dl}}_{=0} \\ &= \int_{AB} B dz - \int_{CD} B dz \\ &= (B_{AB} - B_{CD}) \times h \end{aligned}$$



Donc le champ  $\vec{B}$  à l'intérieur du solénoïde infini est uniforme

$$B_{AB} = B_{CD} = \mu_0 NI$$

ii) cas du contour (2)

On obtient le même résultat  $(B_{AB} - B_{CD}) \times h = 0$  que pour le cas précédent, c'est à dire un champ uniforme à l'extérieur. Mais comme ce champ doit être nul à l'infini, on en déduit qu'il est nul partout.

$$B_{AB} = B_{CD} = 0$$

on redécouvrera ce résultat dans le cas suivant.

iii) cas du contour (3)

Dans ce cas, la surface délimitée par le contour est traversée par  $N \times h$  courants entrants; par suite nous avons par un calcul similaire auparavant:

$$(B_{AB} - B_{CD}) \times h = -\mu_0 NI \times h \quad \Rightarrow \quad B_{AB} - B_{CD} = -\mu_0 NI$$

Comme on sait que le terme  $B_{CD} = \mu_0 NI$ , il en découle que le champ d'induction  $B_{AB}$  à l'extérieur du solénoïde est nul.

$$B_{AB} = 0$$

iv) Conclusion

$$\vec{B}(\rho) = \begin{cases} \mu_0 NI \vec{e}_z & , \quad 0 \leq \rho < R \\ 0 & , \quad \rho > R \end{cases}$$

4)  $\vec{B}$  est discontinue:

$$\vec{B}_{1T}(M) - \vec{B}_{2T}(M) = \mu_0 \vec{J}(M) \wedge \vec{n}_{21}$$

comme

$$\vec{n}_{21} = -\vec{e}_\rho, \quad \vec{j} = NI \vec{e}_\varphi$$

on a bien la relation

$$\begin{aligned} \vec{B}_{1T} - \vec{0} &= -\mu_0 NI \vec{e}_\varphi \wedge \vec{e}_\rho \\ &= \mu_0 NI \vec{e}_z \end{aligned}$$

5) En partant de la relation

$$\text{div } \vec{B} = 0 \quad \Rightarrow \quad \vec{B} = \text{rot } \vec{A}$$

par integration sur une surface  $S$  s'appuyant sur un contour  $C$ ,

$$\begin{aligned}\iint_S \vec{B} &= \iint_S \text{rot } \vec{A} \\ &= \oint_C \vec{A} \cdot d\vec{l}\end{aligned}$$

6) règles de symetries de la distribution de courant

a) La symétrie cylindrique de  $S$  implique:  $\vec{A}(M) = \vec{A}(\rho)$

La direction du champ  $\vec{A}$

$\Pi_a = (\vec{e}_\rho, \vec{e}_z)$  est un plan d'antisymétrie du solénoïde

$$\vec{A} \perp \vec{e}_\varphi \Rightarrow \vec{A}(\rho) = A(\rho) \vec{e}_\varphi$$

b) La courbe  $C$  est un cercle de rayon  $\rho$  et d'axe  $\vec{Oz}$

Justification, elle est dictée par la symétrie cylindrique car

$$\begin{aligned}\oint_C \vec{A} \cdot d\vec{l} &= \oint_C A \rho d\varphi \\ &= A \oint_C \rho d\varphi \text{ car } A \text{ ne dépend pas de } \varphi \\ &= 2\pi \rho A\end{aligned}$$

7) Le potentiel vecteur  $\vec{A}$  en tout point de l'espace

on applique la relation

$$\oint_C \vec{A} \cdot d\vec{l} = \iint_S \vec{B} \cdot d\vec{S}$$

ce qui conduit à:

$$\begin{aligned}A &= \frac{1}{2\pi\rho} \iint_S \vec{B} \cdot d\vec{S} \\ &= \frac{1}{2\pi\rho} \iint_S B \times \rho d\rho d\varphi\end{aligned}$$

2 cas à distinguer selon la valeur de  $\vec{B}$ ; càd:

$$\vec{B}(\rho) = \begin{cases} \mu_0 N I \vec{e}_z & , \quad 0 \leq \rho < R \\ 0 & , \quad \rho > R \end{cases}$$

On a:

i)  $\rho > R$

$$\begin{aligned}A(\rho) &= \frac{1}{2\pi\rho} \iint_S B \rho d\rho d\varphi \\ &= \frac{B}{2\rho} R^2 = \mu_0 N I \frac{R^2}{2\rho}\end{aligned}$$

ii)  $\rho < R$

$$\begin{aligned}A(\rho) &= \frac{1}{2\pi\rho} \iint_S B \rho d\rho d\varphi \\ &= \frac{B}{2} \rho = \mu_0 N I \frac{\rho}{2}\end{aligned}$$

### Exercice III: Effet Hall classique

1) schéma d'illustration: voir fig 10,

un electron de la plaquette du plan xOy de vitesse  $\vec{v}$  se déplace suivant  $\vec{e}_x$  sous

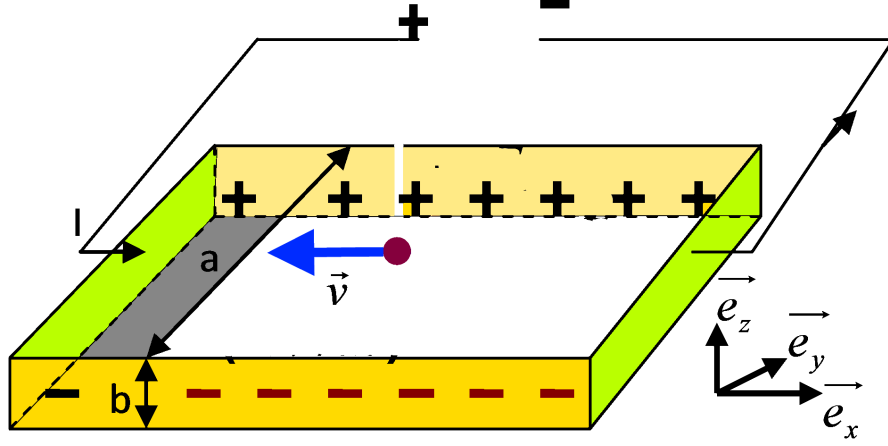


Figure 10: plaque rectangulaire normale à  $\vec{e}_z$  de largeur  $a$ , d'épaisseur  $b$  et de longueur suffisamment grande.

l'effet d'une ddp aux induite par la ddp aux bords  $x = 0$  et  $x = L$  de la plaquette fournie par un générateur de courant dont le sens est comme désigné sur la figure.

On a:

$$\vec{v} = v\vec{e}_x, \quad v = -|v| \text{ dans le schéma}$$

2) phénomène physique observé: Effet Hall

Cette effet a une version classique et une version quantique selon l'intensité du champ magnétique extérieur  $\vec{B}$ .

Pour des valeurs du champ magnétique  $\vec{B}$  relativement petites; le phénomène observé est comme suit, voir fig 11:

a) deviation des électrons sous l'action de  $\vec{B}$

b) naissance d'un déficit de charge électrique aux 2 bords de la plaquette

c) apparition d'une ddp aux 2 bords de la largeur de la plaquette: A l'équilibre cette tension est la tension de Hall  $U_H$  qui induit un champ électrique  $\vec{E}_H$

3) Force magnétique:

Sous l'effet de  $\vec{B}$ , l'électron de vitesse  $\vec{v} = v\vec{e}_x$  est soumis à la force

$$\begin{aligned} \vec{F}_m &= -e\vec{v} \wedge \vec{B}, \quad e = |e| = 1.60217733 \times 10^{-19} \text{ C} \\ &= evB\vec{e}_y \end{aligned}$$

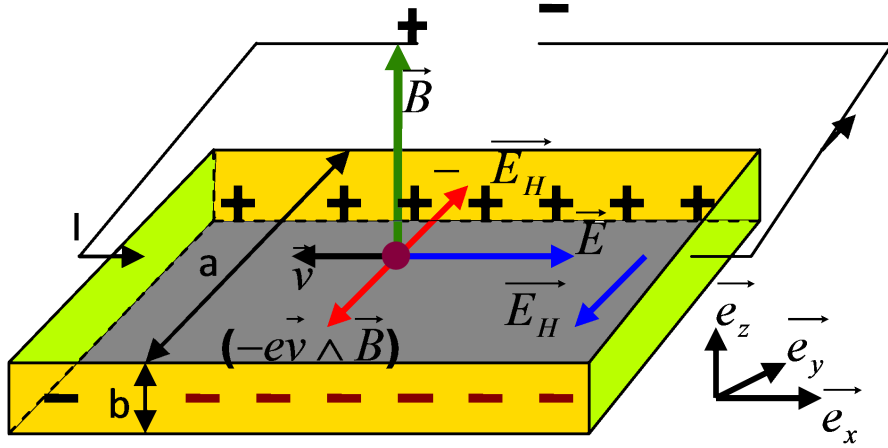


Figure 11: effet Hall classique: (i) déviation des charges sous l'effet du champ  $\vec{B}$ . (ii) naissance d'une ddp aux bornes de la largeur de la plaque

4) le déficit des charges entre les 2 faces  $y = 0$  et  $y = a$  crée une ddp

$$\Delta U = U_2 - U_1$$

et donc une champ électrique suivant  $\vec{e}_y$

$$\vec{E} = -\vec{\nabla}U = E\vec{e}_y$$

5) réaction par opposition à  $\vec{B}$

Le champ électrique  $\vec{E} = E\vec{e}_y$  agit à son tour sur l'électron par une force électrique

$$\vec{F}_{el} = -e\vec{E} = -eE\vec{e}_y$$

Cette force s'oppose à la force magnétique  $\vec{F}_m$  créée par  $\vec{B}$ .

L'expression de la force totale subit par l'électron est alors

$$\vec{F}_m + \vec{F}_{el} = (evB - eE)\vec{e}_y$$

6) Equilibre des forces  $\vec{F}_m$  et  $\vec{F}_{el}$  = Effet Hall, on a:

$$\vec{F}_m + \vec{F}_{el} = 0 \quad \Rightarrow \quad evB = eE$$

ce qui donne

$$E_H = vB, \quad \text{c'est la valeur du champ de Hall} \quad (6.1)$$

7) vitesse de déplacement des électrons:  $\vec{v} = -|v| \vec{e}_x$

elle est obtenue en calculant l'expression du courant électrique  $I$  de deux façons et en comparant les résultats.

a) D'une part

$$I = \int \vec{J} d\vec{S} = JS = Jab$$

soit  $J = \frac{I}{ab}$

ii) d'autre part

$$\begin{aligned} \vec{J} = \rho \vec{v} &= -ne\vec{v} = ne|v| \vec{e}_x \\ &= J\vec{e}_x \end{aligned}$$

ce qui donne

$$ne|v| = \frac{I}{ab}$$

d'où

$$|v| = \frac{I}{abne}$$

8) Le champ  $E_H$  découle de la relation

$$E_H = vB, \quad v = \frac{-I}{abne}$$

soit

$$E_H = \frac{-IB}{abne}$$

d'où

$$n = \frac{-IB}{eabE_H}$$

De la relation entre le potentiel électrique  $U$  et le champ

$$E = -\text{grad } U \quad \Longrightarrow \quad U = - \int \vec{E} \cdot d\vec{l}$$

on tire

$$\begin{aligned} U_H &= - \int \vec{E}_H \cdot d\vec{l} \\ &= -E_H \int_0^a dy \\ &= -aE_H \end{aligned}$$

9) Nombre de  $e^-$  par unité de volume et par atome de Cu: De la relation

$$n = \frac{-IB}{ebaE_H}$$

on tire

$$n = \frac{IB}{ebU_H}$$

Application numérique

$$\begin{aligned}
 b &= 10^{-4}m & , & \quad \rho_{vol}(cu) &= 9000kg/m^3 \\
 I &= 10A & , & \quad m_{mole}(cu) &= 63g \\
 B &= 1Tesla & , & \quad e &= 1.610^{-19}C \\
 U_H &= 5.510^{-6}V & , & \quad N &= 6.0210^{23} \text{ atomes/mole}
 \end{aligned}$$

$$\begin{aligned}
 n &= \frac{10A \times 1Tesla}{1.610^{-19}C \times 10^{-4}m \times 5.510^{-6}V} \\
 &= 1.14 \times 10^{29} e^-/m^3
 \end{aligned}$$

Le nombre d'atomes par  $m^3$

$$\begin{aligned}
 \frac{m_{vol} \times N}{m_{mole}} &= \frac{9000kg/m^3 \times 6.0210^{23} \text{ atomes/mole}}{63 \times 10^{-3}kg} \\
 &= 8,6 \times 10^{28} \text{ atomes}/m^3
 \end{aligned}$$

Le nombre d'électrons par atome est alors

$$\frac{1.14 \times 10^{29} e^-/m^3}{8,6 \times 10^{28} \text{ atomes}/m^3} = 1.33 e^-/\text{atome}$$

#### Exercice IV: interaction entre conducteurs

1) Schéma d'illustration

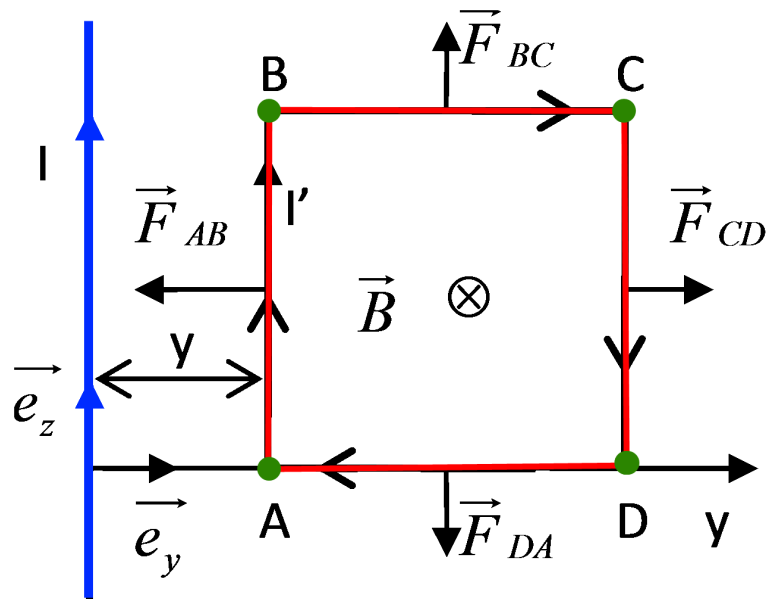


Figure 12: force magnétique exercée par un fil sur un cadre

2) Expression du champ  $\vec{B}_1$  créée par le fil

$$\vec{B}_1 = \frac{\mu_0 I_1}{2\pi\rho} \vec{e}_\varphi$$

3) Force  $\vec{F}_{12}$  exercée par le fil sur le cadre ABCD.

On a 2 conducteurs:

- Un fil infini parcouru par un courant  $I_1$  créant un champ magnétique  $\vec{B}_1$ ,
- Un cadre ABCD dans le plan  $(\rho, \varphi)$  parcouru par un courant  $I_2$  créant un champ magnétique  $\vec{B}_2$  :

En général on a:

Force  $\vec{F}_{12}$  exercée par  $\vec{B}_1$  sur le cadre ABCD parcouru par  $I_2$

Force  $\vec{F}_{21}$  exercée par  $\vec{B}_2$  sur le fil parcouru par  $I_1$

$$\vec{F}_{12} + \vec{F}_{21} = \vec{0}$$

Pour faire le calcul de  $\vec{F}_{12}$ , on prendra l'exemple où le cadre ABCD dans le plan  $yOz$ ; c'est à dire  $\varphi = \frac{\pi}{2}$ . Dans ce cas le plan  $(\vec{e}_\rho, \vec{e}_\varphi)$  coïncide avec  $(\vec{e}_y, -\vec{e}_x)$  càd:

$$\vec{e}_\rho = \vec{e}_y \quad , \quad \vec{e}_x = -\vec{e}_\varphi$$

et

$$\begin{aligned} \vec{B}_1 &= -\frac{\mu_0 I_1}{2\pi y} \vec{e}_x \\ \vec{B}_1 &= \frac{-b}{y} \vec{e}_x, \quad b = \frac{\mu_0 I_1}{2\pi} \end{aligned}$$

Par définition la force  $\vec{F}_{12}$  exercée par  $\vec{B}$  sur le cadre est

$$\begin{aligned} \vec{F}_{12} &= \int_{ABCD} I_2 \vec{dl} \wedge \vec{B}_1 \\ &= \vec{F}_{AB} + \vec{F}_{BC} + \vec{F}_{CD} + \vec{F}_{DA} \end{aligned}$$

soit

$$\begin{aligned} \vec{F}_{AB} &= \int_{AB} I_2 \vec{dl} \wedge \vec{B}_1 \\ \vec{F}_{BC} &= \int_{BC} I_2 \vec{dl} \wedge \vec{B}_1 \\ \vec{F}_{CD} &= \int_{CD} I_2 \vec{dl} \wedge \vec{B}_1 \\ \vec{F}_{DA} &= \int_{DA} I_2 \vec{dl} \wedge \vec{B}_1 \end{aligned}$$

avec

$$\begin{aligned} \int_{AB} I_2 \vec{dl} \wedge \vec{B}_1 &= -I_2 b \int_0^a \frac{dz}{y} \vec{e}_z \wedge \vec{e}_x = -I_2 \frac{ab}{y} \vec{e}_y \\ \int_{BC} I_2 \vec{dl} \wedge \vec{B}_1 &= -I_2 b \int_y^{y+a} \frac{dy}{y} \vec{e}_y \wedge \vec{e}_x = I_2 b \ln \frac{y+a}{y} \vec{e}_z \\ \int_{CD} I_2 \vec{dl} \wedge \vec{B}_1 &= -I_2 b \int_a^0 \frac{dz}{y+a} \vec{e}_z \wedge \vec{e}_x = I_2 \frac{ab}{y+a} \vec{e}_y \\ \int_{DA} I_2 \vec{dl} \wedge \vec{B}_1 &= -I_2 b \int_{y+a}^y \frac{dy}{y} \vec{e}_y \wedge \vec{e}_x = -I_2 b \ln \frac{y+a}{y} \vec{e}_z \end{aligned}$$

Noter que

$$\vec{F}_{BC} = -\vec{F}_{DA}$$

La résultante des forces  $\vec{F}$  agissant sur le cadre est

$$\begin{aligned} \vec{F} &= \vec{F}_{AB} + \vec{F}_{CD} \\ &= -I_2 ab \left( \frac{1}{y} - \frac{1}{y+a} \right) \vec{e}_y \\ &= \frac{-\mu_0 I_1 I_2 a^2}{2\pi y(y+a)} \vec{e}_y \end{aligned}$$

Si le cadre était libre, il serait attiré vers le fil c'est-à-dire vers la région où est plus intense pour que le flux de B à travers le cadre soit maximum (*règle du flux maximal*)

#### 4) Autre méthode

Le travail des forces magnétiques pour un déplacement virtuel  $dy$  du cadre est:

$$dW = \begin{cases} \vec{F} \cdot \vec{dl} = F dy \\ I_2 d\Phi \end{cases} \Rightarrow F = I_2 \frac{d\Phi}{dy}$$

Le flux magnétique est

$$\begin{aligned} \Phi &= \iint \vec{B} \cdot \vec{dS} \\ &= - \iint (\vec{B} \cdot \vec{e}_x) dz dy \\ &= - \int_0^a dz \int_y^{y+a} \frac{-b dy}{y} \\ &= ab \ln \frac{y+a}{y} \\ \frac{d\Phi}{dy} &= ab \left( \frac{1}{y+a} - \frac{1}{y} \right) = \frac{-\mu_0 I a^2}{2\pi y(y+a)} \\ F &= \frac{-\mu_0 I I' a^2}{2\pi y(y+a)} \end{aligned}$$